

## بررسی تأثیر نانو ذرات $\text{Al}_2\text{O}_3$ بر رفتار پیروختی و خواص مکانیکی نانو کامپوزیت $\text{Al}-4.5\%\text{Cu}/\text{Al}_2\text{O}_3$ تهیه

### شده به روش ریخته‌گری گردابی\*

رسول آذری خسروشاهی<sup>(۱)</sup> نسبیه ولی بیگلو<sup>(۱)</sup>

### چکیده

با گسترش فناوری نانو و کاهش اندازه‌ی ذرات تعویت کننده‌ی سرامیکی تا مقیاس نانومتری، خواص مکانیکی مواد مرکب به میزان چشمگیری افزایش یافته است. به دلیل پایین بودن هزینه‌ی تولید، سادگی فرایند تولید و سهولت کنترل ساختار زمینه، ریخته‌گری مواد مرکب زمینه آلمینیمی مورد توجه قرار گرفته است. در این تحقیق، رفتار پیروختی نانوماده‌ی مرکب حاوی میزان‌های متفاوت از ذرات  $\text{Al}_2\text{O}_3$  (۵٪، ۳٪ و ۱٪) بررسی شده است. برای تولید ماده‌ی مرکب با زمینه‌ی آلیاژ  $\text{Al}-4.5\text{wt.\%Cu}$  تعویت شده با نانوذرات آلمینیا، پس از آسیاکاری مکانیکی مخلوط پودرهای میکرونی آلمینیم و نانوذرات آلمینیا و تهیه‌ی پودر ترکیبی، از روش ریخته‌گری گردابی استفاده شد. با بررسی ریزساختاری نمونه‌ها، توزیع یکنواخت فاز تعویت کننده و ریزدانگی زمینه به اثبات رسید. تأثیر ذرات بر خواص مکانیکی ماده‌ی مرکب از قبیل خواص فشاری و سختی، چگالی و سیستیک عملیات حرارتی بررسی شد. نتایج شناس دادند که حضور ذرات آلمینیا بهبود قابل توجه خواص را به دنبال دارد. افزودن ذرات آلمینیا به آلیاژ به عنوان عامل تعویت کننده، رفتار پیروختی آلیاژ را نیز تغییر داده و با تسریع فرایند پیروختی منجر به افزایش بیشینه‌ی سختی آن شد.

**واژه‌های کلیدی** نانوماده‌ی مرکب زمینه فلزی، ریخته‌گری گردابی، آلیاژ  $\text{Al}-4.5\text{wt.\%Cu}$ ,  $\text{Al}_2\text{O}_3$ , عملیات حرارتی پیروختی

### A Study on the Effect of $\text{Al}_2\text{O}_3$ Nano-particles on Aging Behavior and Mechanical Properties of $\text{Al}-4.5\text{wt.\%Cu}/\text{Al}_2\text{O}_3$ Composites Produced by Stir Casting

N. valibeygloo

R.A. khosroshahi

#### Abstract

Using the nanotechnology and decreasing the dimension of reinforcement particles to nanometer, outstanding mechanical properties are achieved in aluminum matrix nanocomposites. Fabrication of aluminum matrix nanocomposites by casting is of great importance because of its simplicity, low cost and ease of the control of matrix microstructure. In this study, the aging behavior of nanocomposite samples with different volume percents nano-particles, i.e. 1.5, 3 and 5%, have been investigated. For production of composite samples with  $\text{Al}_2\text{O}_3$  nano-particles using the  $\text{Al}-4.5\text{wt.\%Cu}$  alloy as its matrix, mixtures of Al powders (with the particle size of about 35  $\mu\text{m}$ ) and suitable amounts of alumina powders (about 50 nm in size) were prepared by mechanical alloying process to be used in casting process. Microstructural studies showed a uniform distribution of reinforcements in  $\text{Al}-4.5\text{wt.\%Cu}$  matrix in the samples with a considerable grain refining effect on the matrix. The effects of reinforcement particles on compressive properties, hardness, and density of composite samples as well as the kinetics of heat treatment were also investigated. Addition of  $\text{Al}_2\text{O}_3$  particles as the reinforcement component to the matrix changed the aging behavior of the samples. The results showed that the addition of nano-sized alumina particles to the matrix accelerates the aging process of the matrix and results in higher peak hardness values.

**Key Words** Metal matrix nanocomposites, Stir casting,  $\text{Al}_2\text{O}_3$ ,  $\text{Al}-4.5\text{wt.\%Cu}$  alloy, Precipitation hardening treatment.

\*نسخه‌ی نخست مقاله در تاریخ ۹۱/۲/۲۶ و نسخه‌ی پایانی آن در تاریخ ۹۱/۲/۱۶ به دفتر نشریه رسیده است.

(۱) دانشجوی کارشناسی ارشد، دانشگاه صنعتی سهند تبریز، دانشکده‌ی مهندسی، گروه مهندسی متالورژی و مواد

(۲) نویسنده‌ی مسئول: دانشیار، دانشگاه صنعتی سهند تبریز، دانشکده‌ی مهندسی، گروه مهندسی متالورژی و مواد

افزایش استحکام با حفظ انعطاف‌پذیری و مقاومت به خرزشی در دمای بالا و مقاومت به خستگی به وجود آمده است [8]. خواص نانومواد مرکب زمینه فلزی حتی در کسرهای حجمی بسیار کم نانوذرات تقویت کننده نیز بهبود می‌یابد [9]. مشکلات عمدی موجود در روش ریخته‌گری گردابی برای تولید نانومواد مرکب شامل ترشوندگی ضعیف ذرات تقویت کننده در مذاب، وقوع واکنش‌های مضر در فصل مشترک دو فاز در دمای بالا (مانند مواد مرکب Al-SiC)، نسبت حجم به سطح پایین نانوذرات و در نتیجه، تمایل به خوش‌های شدن ذرات تقویت کننده، و افت خواص مکانیکی ماده‌ی مرکب می‌باشد [10]. روش ذوبی بر اساس هم‌زن ذرات سرامیکی درون مذاب در مقایسه با آلیاژسازی مکانیکی دارای مزیت‌هایی از قبیل پیوند بهتر ذره با زمینه، سهولت کنترل ساختار زمینه، و سادگی و هزینه‌ی کم‌تر فرایند می‌باشد. انجام پیش عملیات بر روی ذرات قبل از افروzen آنها به مذاب، به رفع پیوندهای نامطلوب و گازهای جذب شده در سطح ذرات کمک می‌کند. رفتار پیروختی مواد مرکب زمینه آلومینیم نیز مورد توجه محققین بوده است. تغییر در سیستیک و میزان سختی حین فرایند پیروختی به نوع ماده‌ی زمینه، نوع تقویت کننده (اندازه، شکل و کسر حجمی آن)، روش ساخت ماده‌ی مرکب و دمای پیروختی وابسته است [11]. نشان داده شده است که حضور تقویت کننده‌های سرامیکی باعث تسریع سیستیک پیروختی در مقایسه با آلیاژ تقویت نشده می‌شود. این پدیده ناشی از چگالی افزایش یافته‌ی نابجایی‌ها در فاز زمینه به‌دلیل عدم وجود تطابق در ضرایب انبساط حرارتی زمینه و ذرات تقویت کننده می‌باشد. در این پژوهش ضمن ساخت نانوماده‌ی مرکب Al-4.5%Cu/ $Al_2O_3$ ، خواص (چگالی، سختی، استحکام فشاری و سیستیک فرایند پیروختی) و ریزساختار آنها مطالعه شده است.

## مقدمه

مواد مرکب زمینه فلزی از جمله مهم‌ترین انواع مواد پیشرفته هستند که قدمتی بیش از ۵۰ سال دارند. این نوع مواد مرکب در صنایع مختلفی از جمله صنایع نظامی، حمل و نقل، هواپیماسازی، خطوط انتقال نیرو و به‌کار می‌روند. مواد مرکب زمینه آلومینیم به‌دلیل برخورداری از چگالی کم، استحکام ویژه‌ی بالا، و مقاومت به خستگی و سایش خوب، در صنایع حمل و نقل استفاده می‌شوند [1,2]. در سال‌های اخیر، استحکام‌بخشی آلیاژهای آلومینیم با ذرات سرامیکی اهمیت صنعتی پیدا کرده است. این مواد با وزن کم، استحکام بالا، مدول ویژه‌ی بالا، ضریب انبساط حرارتی پایین، پایداری حرارتی خوب ناشی از حضور ذرات سرامیکی و مقاومت به سایش خوب، مجموعه‌ای از خواص مناسب را دارا هستند [3]. مواد مرکب  $Al-Al_2O_3$  به‌دلیل کاربرد در صنایع خودرو و هواپیما، از اهمیت ویژه‌ای برخوردارند [4,5]. به‌همین دلیل تاکنون مطالعات مفصلی در زمینه‌ی بهبود رفتار و خواص مکانیکی این مواد انجام شده‌اند. مواد مرکب زمینه فلزی تقویت شده با ذرات ناپیوسته به‌روش‌های گوناگونی نظری متالورژی پودر، رسوب‌گذاری هم‌زمان، آلیاژسازی مکانیکی، و روش‌های مختلف ریخته‌گری مانند ریخته‌گری کوبشی، ریخته‌گری نیمه جامد و ریخته‌گری گردابی تولید می‌شوند [2,6]. روش ریخته‌گری گردابی شامل هم‌زن شدید فلز مذاب، تشکیل گرداب و ورود ذرات سرامیکی درون گرداب به وجود آمده می‌باشد. پس از افزودن ذرات، مذاب به‌مدت معینی هم‌زده شده و سپس، به‌روشهای متداول ریخته‌گری می‌شود [7]. فناوری نانو و تولید مواد در بعد نانومتری موضوع تحقیقات جدیدی است که در دهه‌ی اخیر توجه بسیاری را به خود جلب کرده است. تمایل زیادی برای استفاده از نانوذرات سرامیکی برای

## روش انجام آزمایش

گاز آرگون بر کشش سطحی مذاب غلبه کرده و ذرات حین هم زدن در مذاب پخش می‌شوند. حین هم زدن مذاب، فویل‌های آلومینیمی حاوی پودر تقویت کننده با نرخ ۳ gr/min به مرکز گرداب اضافه شدند. پس از افزودن تقویت کننده، هم زن بلا فاصله پایین تر آمده و در ارتفاعی به فاصله‌ی ۱/۳ از کف بوته قرار داده شد و به‌این ترتیب، سرعت هم زدن تا ۱۱۰۰ دور در دقیقه افزایش یافت و این هم زدن به مدت ۱۵ دقیقه ادامه یافت. پس از آن، عمل ریخته‌گری بلا فاصله در قالب فلزی انجام گرفت و نمونه‌ها پس از وقوع کامل انجماد و سرد شدن قالب از آن بیرون آورده شدند. مشخصات نمونه‌های تولید شده در جدول (۲) ارائه شده‌اند.

**عملیات پیرسازی.** عملیات محلول‌سازی و پیرسازی نمونه‌های ماده‌ی مرکب با استفاده از کوره‌ی عملیات حرارتی ATBIN انجام شد. برای عملیات محلول سازی، نمونه‌ها ابتدا به مدت زمان ۲ ساعت در دمای ۵۴۰ °C تا دست‌یابی به محلول جامد همگن  $\alpha$  انجام شد، سپس بلا فاصله داخل آب سریع سرد شدند و پس از آن در فریزر نگهداری شدند. عملیات پیرسازی در دمای ۱۸۰ °C به مدت زمان‌های متفاوت ۵، ۳، ۲/۵ و ۸ ساعت انجام شد، و پس از آن نمونه‌ها از کوره خارج و در هوای آزاد خنک شدند.

تهیه‌ی نمونه‌ی نانوماده‌ی مرکب. برای ساخت نانوماده‌ی مرکب Al-4.5% Cu/Al<sub>2</sub>O<sub>3</sub> با درصد‌های وزنی متفاوت از نانو ذرات Al<sub>2</sub>O<sub>3</sub>، ابتدا با استفاده از شمشهای آلومینیم با خلوص ۹۹/۸ درصد و مس با خلوص ۹۹/۹۹ درصد آلیاژ زمینه با ترکیب ارائه شده در جدول (۱) تهیه شد. سپس پودر آلومینیم با متوسط اندازه تقریبی ۳۵ میکرون به همراه پودر آلومینیم با متوسط اندازه ذره‌ی ۵۰ نانومتر درون آسیاب گلوله‌ای سیاره‌ای با حدود ۳ درصد وزنی اسید استئاریک جامد به عنوان عامل کتترل کننده‌ی فرایند، با سرعت ۳۰۰ دور در دقیقه، به مدت زمان ۵ ساعت آسیاکاری شد. مخلوط پودر به دست آمده با فشار ۱۸۰ MPa پرس شد و نمونه‌های استوانه‌ای شکل از آن ساخته شد. نمونه‌های به دست آمده به وسیله‌ی هاون سرامیکی مجدداً خرد شدند و سپس، از سرند ۶۰ مش عبور داده شدند. مقادیر ۱/۵، ۳ و ۵ درصد حجمی Al<sub>2</sub>O<sub>3</sub> از این پودر ترکیبی اندازه گیری شد و حدود یک گرم از آن در فویل‌های آلومینیمی قرار داده شده تا به شکل بسته‌های کوچک به مذاب افزوده شوند. هم زن گرافیتی که زیر سطح مذاب قرار گرفته بود، با سرعتی حدود ۶۰۰ دور در دقیقه شروع به چرخش کرده و از سوی دیگر، به طور هم زمان گاز آرگون به وسیله‌ی لوله‌ی رابط به سطح مذاب و درست به محل تشکیل گرداب ناشی از هم زن دمیده شد. به‌این ترتیب، یک حفره‌ی عاری از لایه‌ی اکسید آلومینیم به وجود آمد که موقعیت بسیار خوبی را برای ورود ذرات فراهم کرد.

جدول ۱ ترکیب شیمیایی آلیاژ Al-4.5 wt.% Cu به کار رفته در این تحقیق

عنصر	Al	Cu	Si	Fe	Mg	Zn	Ti, Sn, Mn
درصد وزنی	۹۴/۸۷	۴/۴۷	۰/۳۶	۰/۲۵	۰/۰۰۲	۰/۰۱۳	بسیار اندک

جدول ۲ مشخصات نمونه‌های تولید شده

ردیف	کد نمونه	درصد حجمی فاز تقویت کننده	روش ساخت
۱	M (آلیاژ زمینه: Al-4.5% Cu)	-	ریخته گری در دمای $850^{\circ}C$
۲	NA	۱/۵	تولید ماده‌ی مرکب بدون استفاده از پودر ترکیبی و با استفاده از پودر خالص نانوآلومینا و ریخته گری در دمای $850^{\circ}C$
۳	NB	۱/۵	تولید ماده‌ی مرکب با پودر ترکیبی و ریخته گری در دمای $850^{\circ}C$
۴	NC	۳	تولید ماده‌ی مرکب با پودر ترکیبی و ریخته گری در دمای $850^{\circ}C$
۵	ND	۵	تولید ماده‌ی مرکب با پودر ترکیبی و ریخته گری در دمای $850^{\circ}C$

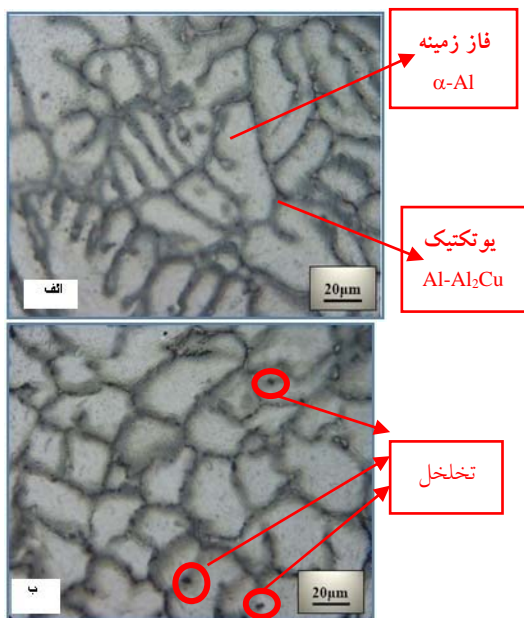
حذف تأثیر جدایش و عیوب ریختگی، نتایج آزمون سختی‌سنگی برای حداقل ۴ نمونه اندازه‌گیری و میانگیری شد، و این‌کار برای بخش‌های مختلف نمونه‌ها گزارش شد. آزمون فشار با استفاده از استاندارد ASTME9-89aR00 بر روی نمونه‌هایی با نسبت ارتفاع به قطر (h/d) بین ۱/۵-۱/۴ انجام شد.

### نتایج و بحث

بررسی میزان اتلاف ذرات. وزن ذرات باقیمانده در سطح مذاب، کف و جداره‌ی بوته نشان‌دهنده‌ی کارایی فرایند ورود ذرات به مذاب است. شکل (۱) میزان اتلاف ذرات افزوده شده به مذاب به روش‌های مختلف را نشان می‌دهد.

همان‌گونه که مشاهده می‌شود، بیشترین میزان اتلاف پودر مربوط به نمونه‌ی NA است که در آن، پودر نانوآلومینا مستقیماً و بدون انجام هیچ عملیاتی به مذاب اضافه شده است. مقایسه‌ی نمونه‌های NB و NA نشان‌دهنده‌ی نقش مؤثر پودر ترکیبی آلومینیم با نانوذرات آلومینا در بهبود توزیع ذرات می‌باشد. اتصال مکانیکی قوی بین ذرات پودر آلومینیم و آلومینا که در

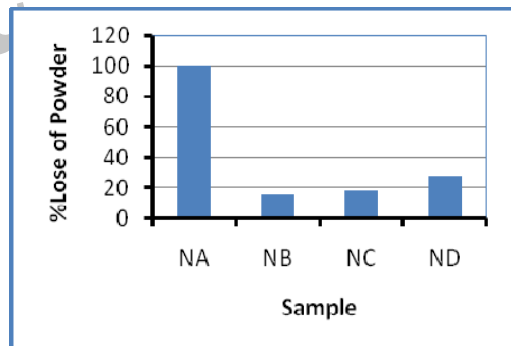
بررسی‌های ریزساختاری و خواص فیزیکی و مکانیکی. برای بررسی ریزساختاری در مراحل مختلف و مشاهده‌ی تغییرات آن با افزودن ذرات، نمونه‌ها پس از سمباده‌کاری و پولیش کاری، با استفاده از محلول کلر (ترکیبی از ۱۹۰ میلی لیتر آب مقطر، ۲ میلی لیتر HF، ۳ میلی لیتر HCl و ۵ میلی لیتر  $HNO_3$ ) حکاکی شدند. به‌منظور بررسی مُرفولوژی فازها و حفره‌های موجود در نمونه‌ها و مشاهده‌ی فاز تقویت‌کننده در نمونه‌های ماده‌ی مرکب و آلیاژ زمینه، از میکروسکوپ الکترونی رویشی (SEM) مدل CamScanMv2300 و میکروسکوپ نوری استفاده شد. برای بررسی میزان ورود ذرات درون مذاب در هر آزمون، میزان ذرات باقیمانده در سطح مذاب، کف و جداره‌ی بوته جمع‌آوری و با ترازوی دیجیتال وزن شد. افزون بر این، میزان تخلخل ایجاد شده در نمونه‌های ریخته شده در نتیجه‌ی افزوده شدن ذرات تقویت کننده با محاسبه‌ی چگالی تئوری و سنجهش چگالی هندسی و قانون ارشمیدس تعیین شد. سختی برینل آلیاژ تقویت نشده و نمونه‌های ماده‌ی مرکب با استفاده از نیروی ۱۲۵ کیلوگرم و فرورونده‌ی فولادی به قطر ۵ میلی‌متر اندازه‌گیری شد. به‌منظور



شکل ۲ تصویرهای میکروسکوپ نوری از نمونه‌های M (الف) و NC (ب)

بررسی‌های ریزساختاری نشان دادند که افزودن نانوذرات آلومینا باعث ریز شدن دانه‌های آلیاژ زمینه می‌شود و به این ترتیب، زمینه دارای ساختار هم محور دانه ریزتری نسبت به آلیاژ تقویت نشده می‌شود. این رفتار را می‌توان به راندمان خوب ورود ذرات نسبت داد [12]. در حضور ذرات سرامیکی، سرعت جبهه‌ی انجامد کاهش یافته و زمان انجامد موضعی افزایش می‌یابد و در نتیجه، جوانه‌های بیشتری تشکیل شده و این منجر به ریزدانگی آلیاژ تقویت شده می‌شود. می‌توان گفت که ذرات فاز دوم به عنوان مکان‌های جوانه‌زنی ناهمگن برای آلومینیم زمینه عمل می‌کنند. این تأثیر با افزایش کسر حجمی ذرات بیشتر می‌شود. البته لازم به ذکر است که با افزایش بیشتر کسر حجمی، احتمال خوشهای شدن ذرات بیشتر شده و راندمان ورود ذرات کاهش می‌یابد. روند درشت شدن دانه‌ها در این شرایط می‌توان رویت کرد. در نمونه‌های ماده‌ی

نتیجه‌ی آسیاکاری و پرسکاری ایجاد شده است، به توزیع بهتر ذرات کمک می‌کند. در واقع، ذرات آلومینیم نقش حامل ذرات آلومینا را بازی کرده و موجب بهبود ترشوندگی آنها می‌شوند. سطح ذرات سرامیکی به طور طبیعی با لایه‌ی گازی پوشیده می‌شود. وجود لایه‌ی گازی بر روی سطح ذرات باعث کاهش تماس مذاب با سطح ذرات تقویت کننده و اتصال ضعیف آنها می‌شود. این پدیده را می‌توان در مورد نمونه‌ی NA دلیل اصلی ترشوندگی ضعیف و پس زدگی ذرات از مذاب دانست. در روش مخلوط‌سازی، ایجاد پوششی از آلومینیم (مشابه با زمینه) بر روی بخش بزرگی از سطوح ذرات موجب کاهش قابل توجه میزان تماس ذرات با لایه‌ی گازی می‌شود، و این نهایتاً منجر به افزایش سطوح تماس آنها با مذاب می‌شود. این فرایند، مذاب را در تماس با پودر هم‌جنس خود قرار داده و موجب بهبود عمل اتصال می‌شود.

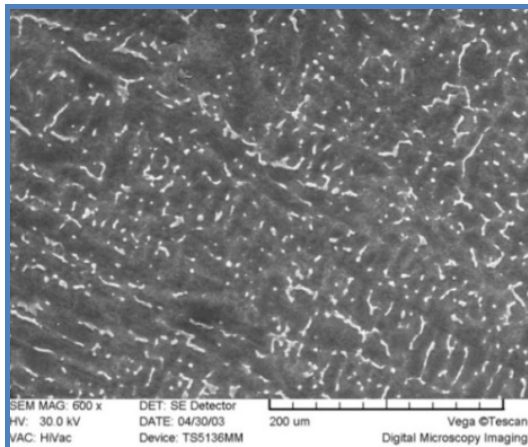


شکل ۱ نمودار تغییرات درصد اتلاف ذرات در مرحله افزوده شدن به مذاب

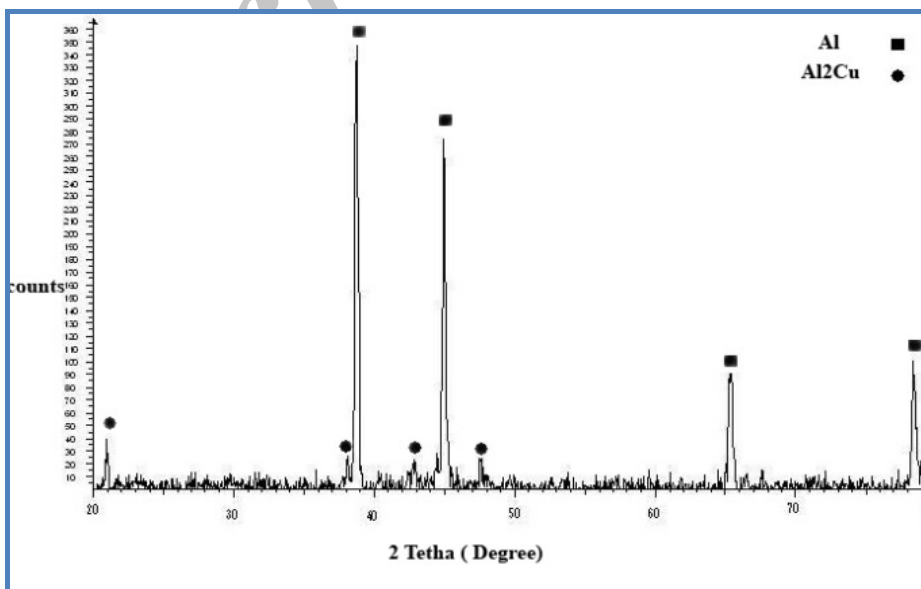
بررسی ریزساختار. اگرچه به دلیل ریز بودن ذرات تقویت کننده، امکان مشاهده‌ی آنها با میکروسکوپ نوری میسر نیست، اما تغییر ساختار انجامدی و عیوب موجود را می‌توان مشاهده کرد. در شکل (۲)، ریزساختارهای آلیاژ پایه (M) و نانوماده‌ی مرکب حاوی ۳ درصد حجمی ذرات تقویت کننده (NC) نشان داده

در شکل (۶)، تصویر میکروسکپ الکترونی رو بشی از نمونه‌ی نانوماده‌ی مرکب حاوی ۳ درصد حجمی تقویت کننده (NC) به همراه نمودارهای EDX از مناطق A و B نشان داده شده است. در ناحیه‌ی A، پیک‌های مربوط به آلمینیم و مس مشاهده می‌شود، و این نشان‌دهنده‌ی حضور فاز  $Al_2Cu$  در آن است. این در حالی است که در ناحیه‌ی B به جز پیک‌های مربوط به آلمینیم و اکسیژن، پیک دیگری مشاهده نمی‌شود. به این ترتیب، ذرهی مشخص شده آلمینا می‌باشد.

مرکب، ساختار به دلیل وجود مکان‌های جوانه‌زنی بیش‌تر از حالت دندانه‌زنی خارج شده و به ساختاری نسبتاً ریزتر تبدیل می‌شود. در این حالت، میران کروی بودن ساختار بیش‌تر می‌شود. شکل (۳) تصویر میکروسکپ الکترونی رو بشی از نمونه‌ی ریختگی آلیاژ تقویت نشده‌ی Al-4.5%Cu را نشان می‌دهد. با استفاده از الگوی پراش اشعه‌ی X شکل (۴) و نتایج بررسی EDS (شکل ۵)، فاز سفید رنگ در ریزساختارها به عنوان فاز  $Al_2Cu$  شناسایی شد.

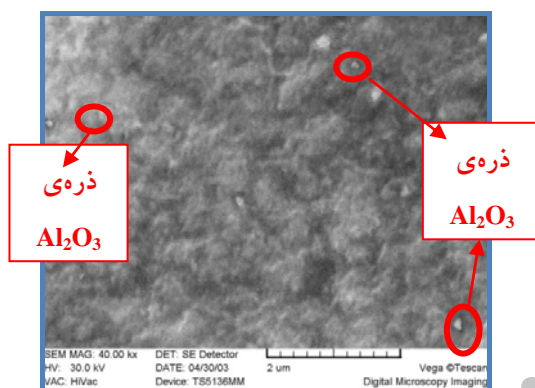


شکل ۳ تصویر میکروسکپ الکترونی از آلیاژ زمینه (M)



شکل ۴ نمودار پراش اشعه‌ی X مربوط به آلیاژ زمینه (M)

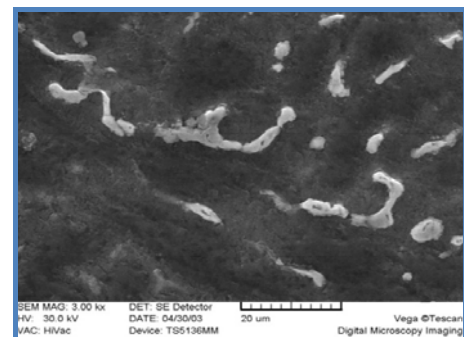
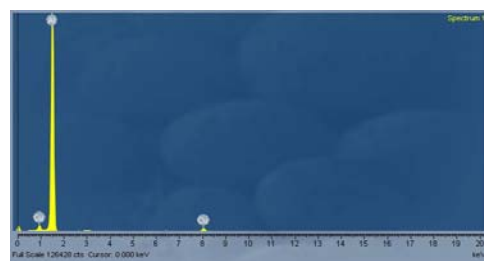
نانوذرات آلومنیا در بزرگ‌نمایی‌های بالاتر درون زمینه به شکل توزیع شده مشاهده می‌شوند (دانه‌های سفید رنگ در شکل ۷). در این تصویر، ذراتی به ابعاد تقریبی کمتر از صد نانومتر و تعدادی از ذرات خوش‌های شده به ابعاد تقریبی زیرمیکرون مشاهده می‌شوند. بدليل اندازه‌ی بسیار کوچک ذرات تقویت کننده و مشکلات روش ریخته‌گری گردابی، حضور ذرات خوش‌های شده در ابعاد زیرمیکرون کاملاً طبیعی است.



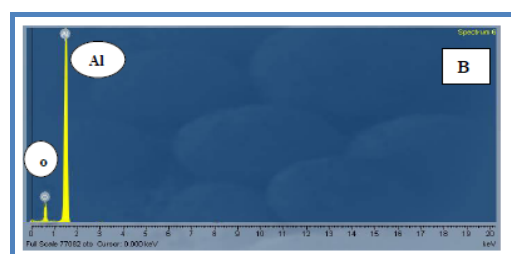
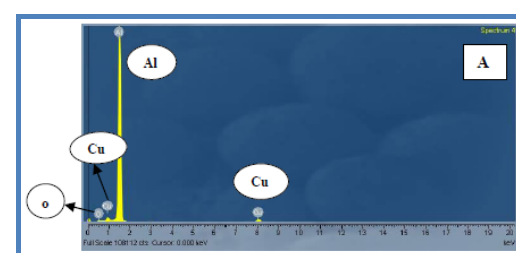
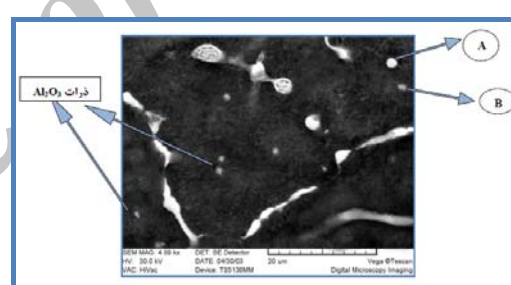
شکل ۷ تصویر میکروسکپ الکترونی رویشی با بزرگ‌نمایی بالا مربوط به نمونه‌ی تقویت شده با ۱/۵ درصد حجمی تقویت کننده (NB)

به دليل وجود لایه‌ی گازی در اطراف ذرات تقویت کننده و یا درگیر شدن ذره با حفره‌های گازی موجود در زمینه، امکان تشکیل حفره در فصل مشترک ذره با زمینه وجود دارد. وجود آثاری از این‌گونه حفره‌های میکروسکوپی در بعضی از نقاط فصل مشترک ذره با زمینه قابل تشخیص است.

بررسی نتایج اندازه‌گیری تخلخل. چگالی ت سوری نمونه‌های ماده‌ی مرکب به دليل بالاتر بودن چگالی آلومنیا، نسبت به زمینه افزایش می‌یابد. میزان جذب گاز به سطح ذرات تقویت کننده با کاهش اندازه‌ی ذرات و افزایش سطح آنها افزایش می‌یابد. حبس



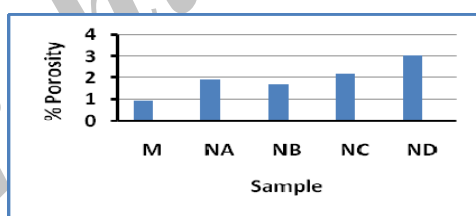
شکل ۵ اندازه‌گیری نقطه‌ای EDX مربوط به فاز سفید رنگ در آلیاژ زمینه (M)



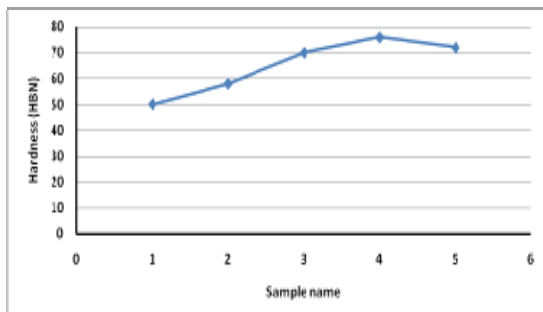
شکل ۶ تصویر SEM از نمونه‌ی NC به همراه اندازه‌گیری نقطه‌ای EDX از نواحی A و B در تصویر

بررسی نتایج سختی سنجی نمونه‌های ریختگی و عملیات حرارتی شده. نتایج حاصل از سختی سنجی تمام نمونه‌ها بر حسب برینل در شکل (۹) ارائه شده‌اند. همان‌طور که مشاهده می‌شود، سختی نمونه‌های حاوی ذرات سرامیکی  $Al_2O_3$  بیش از سختی آلیاژ زمینه است. از آنجا که ذرات آلومینا از آلومینیم سخت‌ترند، افزایش سختی ماده‌ی مرکب را می‌توان به حضور ذرات سرامیکی در زمینه نسبت داد. ذرات آلومینا هم به عنوان موادی در برابر حرکت نابجایی‌ها عمل کرده و به این ترتیب سختی را افزایش می‌دهند، و هم موجب کاهش اندازه‌ی دانه‌های زمینه به عنوان یکی دیگر از عوامل افزایش سختی می‌شوند. البته همان‌گونه که مشاهده می‌شود، با افزایش کسر حجمی ذرات تقویت کننده ابتدا روندی افزایشی و سپس کاهشی در میزان سختی دیده می‌شود. با افزایش بیشتر میزان ذرات تقویت کننده و گذر از حد بهینه، توزیع همگن ذرات درون زمینه رخ داده و با تشکیل خوش‌ها و حفره‌ها، چگالی نسبی کاهش یافته و به این ترتیب سختی کاهش می‌یابد.

گازهای محیطی در توده‌های ذرات منجر به افزایش تخلخل در ماده‌ی مرکب می‌شود [13]. با توجه به نتایج نشان داده شده در شکل (۸)، تأثیر کسر حجمی ذرات آلومینا بر تخلخل ماده‌ی مرکب را می‌توان بررسی کرد. افزایش کسر حجمی ذرات در مذاب منجر به تشکیل حفره درون توده‌های ذرات می‌شود. از طرف دیگر، با افزایش درصد حجمی ذرات تقویت کننده پدیده‌ای خوش‌های شدن آن‌ها تشدید می‌شود، و نوعی از تخلخل به همراه ذرات خوش‌های شده شکل می‌گیرند. افزون بر این، تخلخل گازی با افزایش میران فاز دوم بیشتر می‌شود، زیرا گرانزوی بالای مذاب اجزای خروج حباب‌های هوا را نمی‌دهد و در نتیجه، مقدار گاز حبس شده افزایش می‌یابد. در نمونه‌ی NA، افزون بر این که هیچ ذره‌ای وارد مذاب نشده است، مقدار محسوسی حفره‌ی گازی نیز در ساختار وجود دارد که ناشی از بهدام افتادن و مکش گازهای محیطی و حباب‌های هوا حین مرحله‌ی هم‌زدن درون مذاب می‌باشد.

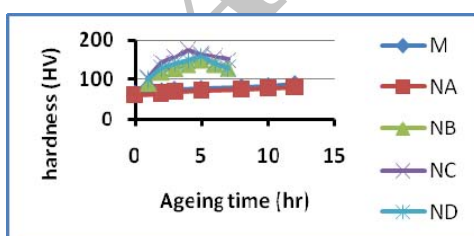


شکل ۸ نمودار تغییرات درصد تخلخل بر حسب کسر حجمی ذرات نانو آلومینا



شکل ۹ نمودار تغییرات سختی برینل (HBN) مربوط به نمونه‌های ماده‌ی مرکب ریختگی

مراحل پیرسختی را تغییر نداده و هر دو ماده‌ی مرکب و فاز زمینه از روند تغییرات مشابهی پیروی کرده و به حداقل سختی می‌رسند، اما این ذرات سرعت تولید فازهای واسطه را افزایش می‌دهد و به‌این ترتیب، درصد حجمی آن‌ها را نیز تغییر می‌دهد. به‌این ترتیب، نمونه‌ی ماده‌ی مرکب سریع‌تر به بیشینه‌ی سختی می‌رسد (مقایسه‌ی رفتار پیرسختی نمونه‌های M و NB). این تسريع در پیرسازی را می‌توان به نفوذ سریع اتمی در آن‌ها نسبت داد. وجود نابجایی‌های زیاد در ماده‌ی مرکب که در فرایند تولید ایجاد می‌شوند، مسیری راحت و کم انرژی برای نفوذ اتمی ایجاد می‌کنند [11]. نتایج نشان می‌دهند که سیستیک پیرسازی با افزایش کسر حجمی ذرات آلومینیا تسريع می‌شود (مقایسه‌ی رفتار نمونه‌های NB و NC). این رفتار به‌دلیل افزایش چگالی نابجایی‌ها و در نتیجه‌ی آن، افزایش میزان نفوذ اتم‌های محلول و افزایش تعداد مکان‌های رسوبر گذاری است که منجر به تسريع جوانه‌زنی و رشد رسوبرات شده است. با این حال، با افزایش بیشتر کسر حجمی ذرات تقویت کننده میزان سختی در مراحل پیرسازی کاهش می‌یابد [15]. این رفتار ممکن است به‌دلیل توزیع غیریکنواخت و خوش‌های شدن ذرات و در نتیجه، کاهش چگالی کلی نابجایی‌ها باشد.



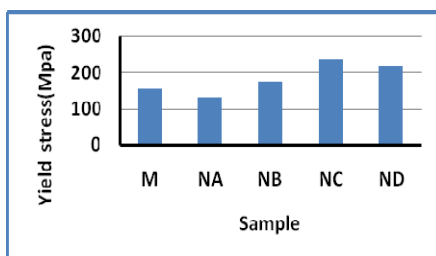
شکل ۱۰ نمودار تغییرات سختی نمونه‌ها با انجام عملیات حرارتی پیرسازی

بررسی نتایج آزمون فشار. برای بررسی تأثیر نانوذرات آلومینیا بر خواص فشاری نمونه‌های ماده‌ی مرکب

در آلیاژ Al-4.5%Cu، انجام عملیات حرارتی توزیع مناسبی از رسوبرات  $\text{Al}_2\text{Cu}$  در زمینه ایجاد کرده است. رسوبرات موانعی برای حرکت نابجایی‌ها به وجود آورده و به‌این ترتیب، سختی و کارسختی ماده‌ی مرکب بهبود می‌یابند [14]. حضور ذرات تقویت کننده رفتار پیرسختی آلیاژ زمینه را با تسريع سیستیک رسوبر گذاری تحت تأثیر قرار می‌دهد. در حقیقت، اختلاف ضریب انبساط حرارتی ذرات سرامیکی با زمینه منجر به افزایش چگالی نابجایی‌ها و افزوده شدن مکان‌های مناسب برای جوانه‌زنی رسوبرات می‌شود. نتایج سختی منجی در مورد آلیاژ زمینه و نمونه‌های ماده‌ی مرکب در زمان‌های مختلف پیرسازی در شکل (۱۰) ارائه شده‌اند.

همان‌گونه که در شکل (۱۰) مشاهده می‌شود، افزودن ذرات سرامیکی به آلیاژ Al-4.5%Cu نه تنها سرعت فرایند پیرسختی را به‌میزان قابل ملاحظه‌ای افزایش داده است، بلکه میزان بیشینه‌ی سختی نیز افزایش یافته است. ذرات آلومینیا به عنوان مکان‌های جوانه‌زنی ناهمگن برای تشکیل رسوبرات عمل می‌کند و باعث ریز و پراکنده شدن رسوبرات و در نتیجه، افزایش سختی می‌شوند. در تمام حالت‌های قبل از رسیدن به پیک سختی، سختی ماده‌ی مرکب بزرگ‌تر از سختی زمینه است، و در اوج سختی نیز ماده‌ی مرکب سختی بسیار بیشتری به نمایش می‌گذارد. در این پژوهش، زمان لازم برای رسیدن به پیک سختی و مقدار سختی در این نقطه برای آلیاژ زمینه بررسی نشده است، اما با استناد به گزارش‌های سایر محققان و مقایسه‌ی تغییرات سختی آلیاژ زمینه در این پژوهش در حالت پیر شده به مدت ۱۲ ساعت، زمان دست‌یابی به مقدار بیشینه‌ی سختی در آلیاژ Al-4.5%Cu (حدود ۱۱۰ HV) به میزان ۵۵ ساعت گزارش شده است [11,15]. لازم به ذکر است که افزایش ذرات سرامیکی

عیوبی در فاز تقویت کننده) بیشتری در نمونه‌ها ایجاد کرده و در نتیجه، از استحکام تسلیم ماده‌ی مرکب کاسته می‌شود.



شکل ۱۱ نمودار تغییرات تنش تسلیم برای نمونه‌های ماده‌ی مرکب ریختگی

### نتیجه گیری

- ۱- ساخت نمونه‌های نانوماده‌ی مرکب با زمینه‌ی آلیاژ آلومنیم با استفاده از روش‌های ریخته‌گری امکان‌پذیر است.
- ۲- با توجه به تصویرهای میکروسکوپ الکترونی و میکروسکوپ نوری، تأثیر استفاده از پودر ترکیبی و نقش آن در حضور نانوذرات آلومنیا درون زمینه نشان داده شد.
- ۳- با افزایش کسر حجمی ذرات تقویت کننده، درصد تخلخل در نمونه‌ها بیشتر شد.
- ۴- سختی نانوماده‌ی مرکب بیش از سختی آلیاژ بدون ذرات تقویت کننده بود.
- ۵- انجام عملیات حرارتی پیرسختی بر روی نمونه‌ها موجب افزایش سختی آنها شد. افزون بر این، این عملیات حرارتی موجب تسریع سیستیک پیرسازی در نمونه‌های ماده‌ی مرکب نسبت به آلیاژ تقویت نشده شد، به‌گونه‌ای که پس از انجام عملیات حرارتی، پیک سختی مربوط به نمونه‌های ماده‌ی مرکب بالاتر از نمونه‌ی تقویت نشده بود، و مدت زمان کمتری هم برای رسیدن به این مقدار بیشینه لازم بود.

تولیدی، آزمون فشار با استفاده از نمونه‌های استاندارد انجام شد. تنش تسلیم نمونه‌های مختلف در شکل (۱۱) نشان داده شده است. همان‌طور که در این شکل مشاهده می‌شود، تنش تسلیم نمونه‌ی NC کمتر از نمونه‌ی M است. این پدیده را می‌توان به وجود میزان بالایی از تخلخل و حفره‌های گازی درون آن نسبت داد. حباب‌های هوا حین ریخته‌گری و ایجاد تلاطم ناشی از تشکیل جریان گردابی به درون مذاب کشیده شده‌اند، و این در حالی است که هیچ ذره‌ی تقویت کننده‌ای به درون مذاب وارد نشده است. استفاده از پودر ترکیبی نقش مؤثری بر خواص فشاری ماده‌ی مرکب دارد، به گونه‌ای که نمونه‌ی NB (تهیه شده از پودر ترکیبی) دارای تنش تسلیم بالاتری نسبت به نمونه‌ی NA می‌باشد. افزون بر این مشاهده می‌شود که با افزایش درصد حجمی نانوذرات آلومنیا، تنش تسلیم نمونه‌ها افزایش چشم‌گیری می‌دهند، و این نشان‌دهنده‌ی تأثیر آشکار ذرات تقویت کننده بر استحکام بخشی آنها می‌باشد. ثابت شده است که با افزایش میزان ذرات تقویت کننده، چگالی نابجایی‌ها در زمینه افزایش می‌یابد [۱۴]. این نابجایی‌ها به دلیل وجود اختلاف بین ضریب‌های انبساط حرارتی زمینه و ذرات تقویت کننده در اطراف ذرات ایجاد می‌شوند. افزون بر این، بالا رفتن میزان ذرات برای زمینه محدودیت مومسان بیشتری ایجاد می‌کند. هرچه میزان ذرات آلومنیا بیشتر باشد، به دلیل کاهش فاصله‌ی بین ذرات، زمینه دچار محدودیت بیشتری برای تغییر شکل مومسان می‌شود، و این منجر به بهبود بیشتر تنش سیلان فشاری نمونه می‌شود. با توجه به نمودار شکل (۱۱)، با افزایش میزان ذرات تقویت کننده تا ۳ درصد حجمی (نمونه‌ی NC) تنش سیلان ماده‌ی مرکب افزایش می‌یابد، ولی افزایش بیشتر ذرات میزان عیوب (خواهه‌ای شدن ذرات، افزایش میزان تخلخل و وجود

نانوذرات تقویت کننده تا ۳ درصد حجمی، استحکام تسلیم ماده‌ی مرکب افزایش میزد.  
۶- استفاده از پودر ترکیبی تأثیر بسیاری بر خواص فشاری ماده‌ی مرکب داشت. با افزایش میزان

## مراجع

1. Cole, G.S. and Shrman, A.M., "Light weight materials of automotive applications", *Materials Characterization*, Vol. 35, Issue. 1, pp. 3-9, (1995).
2. Surappa, M.K., "Aluminum matrix composites: Challenges and opportunities", Dept. of Metallurgy, Indian Institute of Science/India, pp. 319–334, (2003).
3. Miracle, D.B., "Metal matrix composites – From science to technological significance", *Composites Science and Technology* 65, pp. 2526–2540, (2005).
4. Tavoosi, M., Karimzadeh, F., Enayati, M.H., "Fabrication of Al-Zn/ $\alpha$ Al<sub>2</sub>O<sub>3</sub> nanocomposite by mechanical alloying", *Journal of Materials Letters*, 62, pp. 282-285, (2008).
5. Huo, H., Woo, K.D., "In situ synthesis of Al<sub>2</sub>O<sub>3</sub> particulate-reinforced Al matrix composite by low temperature sintering", *Journal of Materials Science and Engineering*, 41, pp. 3249-3253, (2006).
6. Flom, Y., Arsenault, R.J., "Interfacial bond strength in an aluminum alloy 6061-SiC composite", *Material science and Engineering*, Vol. 77, pp. 191, (1986).
7. Hashim, J., Looney, L., Hashmi, M. S. J., "Metal matrix composites: production by stir casting method", *Journal of Materials Processing Technology*, Vol. 92-93, pp. 1-7, (1999).
8. Thostenson,, E. T., Li, C. & Chou, T. W., "Nanocomposites in context, composites Science & Technology", Vol. 65, pp. 491-516, (2005).
9. Li, X., Yang, Y., Cheng, X., "Ultrasonic-assisted fabrication of metal matrix nanocomposites", *Journal of Materials Science*, 39, pp. 3211-3212, (2004).
10. Samuel, A.M, Liu, H., and Samuel, F.H., "on the castability of Al-Si/SiC particle reinforced MMCs: Factors affecting fluidity", *Com.Sci.Tech*, Vol. 49, pp. 1-12, (1993).
11. Das, Sanjeev., Das, S., Das, K., "Ageing behavior of Al-4.5 wt% Cu matrix alloy reinforced With Al<sub>2</sub>O<sub>3</sub> and ZrSiO<sub>4</sub> particulate varying particle size", *J.Mater.Sci*, 41, pp. 5402-5406, (2006).
12. Zhao, Y.-T., Zhang, S.-L., Chen, G., Cheng, X.-N., Wang, C.-Q., "In situ (Al<sub>2</sub>O<sub>3</sub>+Al<sub>3</sub>Zr) np/Al nanocomposites synthesized by magneto-chemical melt reaction", *Composites Science and Technology* 68, pp. 1463–1470, (2008).
13. Kok, M., "Production and mechanical properties of 2024 aluminum alloy composites", *J. Mat. Pro. Tech*, pp. 381-387, (2005).
14. ASHUTOSH, "Study of the age hardening Behavior of Al - 4.5Cu/ZrSiO<sub>4</sub> composite in Different

Quenching Media", Thesis submitted in partial fulfillment of the requirement for The award of the degree of Master in Technology, School of Physics & Material Sciences Thapar University, Patiala, June (2007).

15. Das, Karabi., Narnaware, L.K., "Synthesis and characterization of Al-4.5% Cu/Al<sub>3</sub>Ti composites: Microstructure and ageing behaviors", Materials Science and Engineering A 497, pp. 25-30, (2008).

Archive of SID